



Laboratorium EMVO Sp. J. Urbański, Pawelak  
ul. Jasna 1  
00-013 Warszawa

tel. +48 22 780 29 64  
e-mail: laboratorium@emvo.pl



AB 1630

### Sprawozdanie z pomiarów pól elektromagnetycznych - środowisko ogólne nr 27/04/OŚ/2021- ELT



Nr i nazwa stacji	BT43683_JATYNKA	
Adres	76-020 Bobolice, Jatynka, dz. nr 57/4, woj. zachodniopomorskie	
Opracowanie	Martyna Karczmarczyk	Specjalista ds. pomiarów
Autoryzacja	Andrzej Urbański	Kierownik Laboratorium
Podpis	Podpis jest prawidłowy Dokument podpisany przez Andrzej Urbański Data: 2021.04.26 09:21:28 Powód: Zatwierdzam dokument	
Data	2021-04-22	

## Spis treści

1. Informacje ogólne.....	3
2. Podstawa prawna. ....	3
3. Opis pomiarów.....	3
4. Zróżnicowanie dopuszczalne poziomy pól elektromagnetycznych.....	5
5. Charakterystyka źródeł PEM.....	5
6. Wyniki pomiarów.....	5
7. Stwierdzenie zgodności .....	8
8. Oświadczenie.....	8
9. Spis załączników. ....	8

## 1. Informacje ogólne.

<b>Zleceniodawca</b>	<b>Axians Networks Poland Sp. z o.o.</b> ul. Żupnicza 17 – 03-821 Warszawa Osoba udzielająca informacji – Piotr Miliszkievicz
<b>Istotne informacje dostarczone przez klienta</b>	komplet informacji niezbędnych do wykonania pomiarów i opracowania sprawozdania
<b>Dane otrzymane od klienta mogące mieć wpływ na ważność wyników</b>	Dane anten sektorowych, dane anten radioliniowych, parametry pracy instalacji, poprawka pomiarowa
<b>Prowadzący instalację</b>	<b>Polkomtel Infrastruktura sp. z o.o.</b> , ul. Konstruktorska 4, 02-673 Warszawa
<b>Lokalizacja obiektu</b>	76-020 Bobolice, Jatynka, dz. nr 57/4, woj. zachodniopomorskie
<b>Miejsce instalacji anten</b>	Wieża kratowa
<b>Miejsce instalacji urządzeń</b>	Kontener
<b>Osoby wykonujące pomiar</b>	Piotr Kujaszewski
<b>Data wykonania pomiaru</b>	22.04.2021
<b>Temperatura na początku pomiaru [°C]</b>	8,0
<b>Temperatura na koniec pomiaru [°C]</b>	7,0
<b>Warunki atmosferyczne</b>	Brak opadów
<b>Wilgotność na początku pomiaru [%]</b>	65,0
<b>Wilgotność na koniec pomiaru [%]</b>	69,0
<b>Inne źródła pól elektromagnetycznych oznaczone na załączniku graficznym</b>	Nie występują
<b>Parametry pracy instalacji</b>	Rzeczywisty

## 2. Podstawa prawna.

### 2.1 Normy i rozporządzenia:

- Rozporządzeniem Ministra Klimatu z dnia 17 lutego 2020 r. w sprawie sposobów sprawdzania dotrzymania dopuszczalnych poziomów pól elektromagnetycznych w środowisku (Dz.U. 2020 poz. 258)
- Rozporządzenie Ministra Zdrowia z dnia 17 grudnia 2019 r. w sprawie dopuszczalnych poziomów pól elektromagnetycznych w środowisku (Dz.U. 2019 poz. 2448)
- Obwieszczenie Marszałka Sejmu Rzeczypospolitej Polskiej z dnia 19 lipca 2019 r. w sprawie ogłoszenia jednolitego tekstu ustawy - Prawo ochrony środowiska (Dz.U. 2019 poz. 1396).

## 3. Opis pomiarów

„Bez pisemnej zgody Laboratorium niniejsze sprawozdanie nie może być powielane inaczej, jak tylko w całości. Ponadto wyniki dotyczą tylko badanych obiektów przywołanych w niniejszym sprawozdaniu z badań”

Metodologia pomiarowa	Pomiary w oparciu o Rozporządzeniem Ministra Klimatu z dnia 17 lutego 2020 r. w sprawie sposobów sprawdzania dotrzymania dopuszczalnych poziomów pól elektromagnetycznych w środowisku (Dz.U. 2020 poz. 258).
Cel badań	Określenie wartości natężenia pola elektrycznego w miejscach dostępnych dla ludności.
Opis zestawu pomiarowego	Miernik Narda NBM 520, Sonda EF 9091, o zakresie pomiarowym 0,7 V/m - 400V/m pracująca w paśmie 0,1 – 90 GHz, świadectwo wydane przez Laboratorium Wzorców i Metrologii Pola Elektromagnetycznego, Instytut Telekomunikacji, Teleinformatyki i Akustyki Politechniki Wrocławskiej. Świadectwo ważne do 15.07.2021r. Miernik Narda NBM 520, Sonda EF 9091 pracująca w zakresie temperatury -10°C - +50°C oraz wilgotności 5% - 95%. Niepewność rozszerzona 59,0% przy poziomie ufności 95% z uwzględnieniem współczynnika rozszerzenia k=2.
Wyposażenie pomocnicze	Termohigrometr Termoprodukt, typ: Termik+, nr identyfikacyjny 700618, świadectwo wzorcowania nr 1763/AH/19 z dn. 29.07.2019 r. wydane przez Laboratorium Pomiarowe "MUTECH". Przymiar wstęgowy STABILA, nr identyfikacyjny 31WL, świadectwo wzorcowania nr 6W1/1826/19 z dn. 02.08.2019 r. wydane przez Dyrektora Okręgowego Urzędu Miar w Gdańsku. GPS Garmin 64s okresowo sprawdzany w punktach osnowy geodezyjnej klasy 3 na podstawie licencji punktu, zgodnie z procedurą sprawdzeń okresowych IS/PO16-11/03.
Pomiary zostały wykonane	<ol style="list-style-type: none"> <li>1. na głównych i pomocniczych kierunkach pomiarowych, na kierunkach zbliżonych do azymutów anten oraz w dodatkowych pionach pomiarowych zgodnie z wymaganiami pkt 12, 13, 14 i 19 załącznika do rozporządzenia Ministra Klimatu z dnia 17 lutego 2020 r. (Dz. U. 2020, poz. 258),</li> <li>2. na obszarze pomiarowym, dla którego, na podstawie uprzednio wykonanych obliczeń uzyskanych od zleceniodawcy, stwierdzono możliwość występowania pól elektromagnetycznych o poziomach zbliżonych do poziomów dopuszczalnych zgodnie z wymaganiami pkt 5 ppkt 2 oraz pkt 13 ppkt 1 załącznika do rozporządzenia Ministra Klimatu z dnia 17 lutego 2020 r. (Dz. U. 2020, poz. 258). Wyniki obliczeń nie uwzględniały parametrów pracy instalacji innych operatorów występujących na obiekcie bądź w obszarze pomiarowym.</li> <li>3. w miejscach dostępnych dla ludności.</li> <li>4. miejsca niedostępne podczas wykonywania pomiarów wskazane zostały w pkt 6 (tabeli wyniki pomiarów)</li> <li>5. wyniki pomiarów uzyskane zostały przy uwzględnieniu poprawek pomiarowych przekazanych przez zleceniodawcę oraz przy rzeczywistych warunkach pracy instalacji innych operatorów (w przypadku występowania). W takiej sytuacji uwzględniono jednolitą poprawkę pomiarową wynoszącą 1,47.</li> </ol>
Szczególne warunki podczas wykonywania pomiarów	Pomiary wykonane zostały podczas obowiązywania w kraju stanu epidemii, zgodnie z art. 122a ust. 1b Ustawy z dnia 27 kwietnia 2001 r. – Prawo ochrony środowiska (Dz. U. z 2019 r. poz. 1396, z późn. zm.9))
Warunki pracy urzędzeń nadawczych	Podczas pomiarów zostały uwzględnione poprawki pomiarowe przekazane przez zleceniodawcę, umożliwiające uwzględnienie maksymalnych parametrów pracy instalacji zgodnie z pkt 7 załącznika do Rozporządzeniem Ministra Klimatu z dnia 17 lutego 2020 r. w sprawie sposobów sprawdzania dotrzymania dopuszczalnych

poziomów pól elektromagnetycznych w środowisku (Dz. U. 2020, poz. 258).

#### 4. Różnicowanie dopuszczalne poziomy pól elektromagnetycznych.

Zakresy znajdują się w Dzienniku Ustaw z dnia 17 grudnia 2019 r. przedstawione są w tabeli nr 2 (Dz. U. z 2019r. poz. 2448).

Parametr fizyczny	Składowa elektryczna E (V/m)	Składowa magnetyczna H (A/m)	Gęstość mocy S (W/m <sup>2</sup> )
Zakres Częstotliwości pola elektromagnetycznego			
od 400 MHz do 2000 MHz	$1,375 \times f^{0,5}$	$0,0037 \times f^{0,5}$	$f / 200$
od 2 GHz do 300 GHz	61	0,16	10

#### 5. Charakterystyka źródeł PEM.

Zgodnie z informacją otrzymaną od Klienta pomiary zostały wykonane przy ustawieniach pochylenia anten zgodnych z pkt. 13, ppkt 2 załącznika do rozporządzenia Ministra Klimatu z dnia 17 lutego 2020 roku.

Tabela 1. Anteny sektorowe - dane otrzymane od klienta

Typ anteny	Współrzędne geograficzne	Azymut mechaniczny [°]	Azymut elektryczny [°]	Wysokość zawieszenia anten (środek anteny) n.p.t. [m]	Pasma częstotliwości [MHz]	Zakres pochylenia elektrycznego [°]	Średnie pochylenie anten (ustawione do pomiarów PEM) [°]	Zakres pochylenia mechanicznego [°]	Moc EIRP [W]	Suma EIRP [W]
80010306V02	53°57'27.51"N 16°27'37.26"E	30	30	53,30	900	0,5 - 9,5	5,0	0,0	7019	7019
80010306V02	53°57'27.51"N 16°27'37.26"E	150	150	68,80	900	0,5 - 9,5	5,0	0,0	7019	7019
80010306V02	53°57'27.51"N 16°27'37.26"E	260	260	68,80	900	0,5 - 9,5	5,0	0,0	7019	7019
A264521R1V06	53°57'27.51"N 16°27'37.26"E	35	35	53,30	1800	0,0 - 6,0	3,0	0,0	5666	5666
A264521R2V06	53°57'27.51"N 16°27'37.26"E	170	170	53,90	1800	2,0 - 12,0	7,0	0,0	5411	5411
A264521R2V06	53°57'27.51"N 16°27'37.26"E	260	260	53,90	1800	2,0 - 12,0	5,0	0,0	5411	5411
741516	53°57'27.51"N 16°27'37.26"E	140	140	69,40	420	0,0 - 0,0	0,0	0,0	973	973
741516	53°57'27.51"N 16°27'37.26"E	260	260	69,40	420	0,0 - 0,0	0,0	0,0	973	973
741516	53°57'27.51"N 16°27'37.26"E	350	350	69,40	420	0,0 - 0,0	0,0	0,0	973	973

Tabela 2. Anteny radioliniowe- dane otrzymane od klienta

Typ anteny	Współrzędne geograficzne	Azymut [°]	Średnica [m]	Pasma częstotliwości [GHz]	Zysk energetyczny [dBi]	Moc wyjściowa nadajnika [dBm]	EIRP [W]	Wysokość środka elektrycznego anten n.p.t. [m]
UKY 210 41/SC15	53°57'27.51"N 16°27'37.26"E	45	1,2	13	42	24	3981,1	65,3
UKY 210 41/SC15	53°57'27.51"N 16°27'37.26"E	58	1,2	13	42	24	3981,1	44,1
UKY 210 41/SC15D	53°57'27.51"N 16°27'37.26"E	74	1,2	13	41,8	21	1905,5	48,8
ANT2/2B0.623/80HP/HP	53°57'27.51"N 16°27'37.26"E	84	0,6	23	39,6	21	1148,15	39,1
	53°57'27.51"N 16°27'37.26"E	84	0,6	80	49,3	16	3388,44	39,1
UKY 230 42/07H	53°57'27.51"N 16°27'37.26"E	106	0,6	23	40,7	21	1479,1	61,3
UKY 230 42/14H	53°57'27.51"N 16°27'37.26"E	106	0,6	80	50,5	17	5623,4	61,5
UKY 210 44/SC15	53°57'27.51"N 16°27'37.26"E	144	1,2	23	46,7	21	5888,4	48,8
UKY 210 43/DC15	53°57'27.51"N 16°27'37.26"E	192	1,2	18	44,7	17	1479,1	61,3
UKY 210 43/SC15	53°57'27.51"N 16°27'37.26"E	221	1,2	18	44,6	17	1445,4	65,3
UKY 210 44/DC15	53°57'27.51"N 16°27'37.26"E	253	1,2	23	46,7	17	2344,2	61,3
UKY 210 41/DC15	53°57'27.51"N 16°27'37.26"E	338	1,2	13	42,0	24	3981,1	65,3

## 6. Wyniki pomiarów.

Wyniki pomiarów pól elektromagnetycznych dla celów ochrony środowiska przedstawia poniższa tabela. Piony pomiarowe zostały przedstawione w zał. 2.

Nr PP	Pole-E [V/m]	Pole-E *kE, +U [V/m]	Pole-H [A/m]	Pole-H *kE +U [A/m]	Wys. pomiaru [m]	Opis pionu	Uwagi	WME	WMH
1	<0,7*	<1,64	<0,002	<0,004	0,3-2,0	N:53°57'30.2" E:16°27'40.2"	otoczenie stacji bazowej - 100m wzdłuż gł. osi promieniowania - GKP	<0,042	<0,041
2	<0,7*	<1,64	<0,002	<0,004	0,3-2,0	N:53°57'33.5" E:16°27'42.2"	otoczenie stacji bazowej - 200m wzdłuż gł. osi promieniowania - GKP	<0,042	<0,041
3	<0,7*	<1,64	<0,002	<0,004	0,3-2,0	N:53°57'36.5" E:16°27'44.8"	otoczenie stacji bazowej - 300m wzdłuż gł. osi promieniowania - GKP	<0,042	<0,041
4	<0,7*	<1,64	<0,002	<0,004	0,3-2,0	N:53°57'39.3" E:16°27'46.6"	otoczenie stacji bazowej - 400m wzdłuż gł. osi promieniowania - GKP	<0,042	<0,041
5	<0,7*	<1,64	<0,002	<0,004	0,3-2,0	N:53°57'41.6" E:16°27'49.3"	otoczenie stacji bazowej - 500m wzdłuż gł. osi promieniowania - GKP	<0,042	<0,041
6	<0,7*	<1,64	<0,002	<0,004	0,3-2,0	N:53°57'42.9" E:16°27'50.7"	otoczenie stacji bazowej - 535m wzdłuż gł. osi promieniowania - GKP	<0,042	<0,041
7	<0,7*	<1,64	<0,002	<0,004	0,3-2,0	N:53°57'38.5" E:16°27'48.9"	otoczenie stacji bazowej - 400m wzdłuż gł. osi promieniowania - GKP	<0,042	<0,041
8	<0,7*	<1,64	<0,002	<0,004	0,3-2,0	N:53°57'40.9" E:16°27'51.5"	otoczenie stacji bazowej - 500m wzdłuż gł. osi promieniowania - GKP	<0,042	<0,041
9	<0,7*	<1,64	<0,002	<0,004	0,3-2,0	N:53°57'42.1" E:16°27'52.5"	otoczenie stacji bazowej - 535m wzdłuż gł. osi promieniowania - GKP	<0,042	<0,041
10	<0,7*	<1,64	<0,002	<0,004	0,3-2,0	N:53°57'24.9" E:16°27'40.7"	otoczenie stacji bazowej - 100m wzdłuż gł. osi promieniowania - GKP	<0,042	<0,041
11	<0,7*	<1,64	<0,002	<0,004	0,3-2,0	N:53°57'22.5" E:16°27'45.1"	otoczenie stacji bazowej - 200m wzdłuż gł. osi promieniowania - GKP	<0,042	<0,041
12	<0,7*	<1,64	<0,002	<0,004	0,3-2,0	N:53°57'20.4" E:16°27'48.5"	otoczenie stacji bazowej - 300m wzdłuż gł. osi promieniowania - GKP	<0,042	<0,041
13	<0,7*	<1,64	<0,002	<0,004	0,3-2,0	N:53°57'18.1" E:16°27'52.4"	otoczenie stacji bazowej - 400m wzdłuż gł. osi promieniowania - GKP	<0,042	<0,041
14	<0,7*	<1,64	<0,002	<0,004	0,3-2,0	N:53°57'15.6" E:16°27'56.2"	otoczenie stacji bazowej - 500m wzdłuż gł. osi promieniowania - GKP	<0,042	<0,041

„Bez pisemnej zgody Laboratorium niniejsze sprawozdanie nie może być powielane inaczej, jak tylko w całości. Ponadto wyniki dotyczą tylko badanych obiektów przywołanych w niniejszym sprawozdaniu z badań”

15	<0,7*	<1,64	<0,002	<0,004	0,3-2,0	N:53°57'13.3" E:16°27'59.1"	otoczenie stacji bazowej - 600m wzdłuż gł. osi promieniowania - GKP	<0,042	<0,041
16	<0,7*	<1,64	<0,002	<0,004	0,3-2,0	N:53°57'10.9" E:16°28'02.7"	otoczenie stacji bazowej - 695m wzdłuż gł. osi promieniowania - GKP	<0,042	<0,041
17	<0,7*	<1,64	<0,002	<0,004	0,3-2,0	N:53°57'21.7" E:16°27'43.9"	otoczenie stacji bazowej - 200m wzdłuż gł. osi promieniowania - GKP	<0,042	<0,041
18	<0,7*	<1,64	<0,002	<0,004	0,3-2,0	N:53°57'19.5" E:16°27'46.6"	otoczenie stacji bazowej - 300m wzdłuż gł. osi promieniowania - GKP	<0,042	<0,041
19	<0,7*	<1,64	<0,002	<0,004	0,3-2,0	N:53°57'16.3" E:16°27'49.8"	otoczenie stacji bazowej - 400m wzdłuż gł. osi promieniowania - GKP	<0,042	<0,041
20	<0,7*	<1,64	<0,002	<0,004	0,3-2,0	N:53°57'11.2" E:16°27'54.9"	otoczenie stacji bazowej - 600m wzdłuż gł. osi promieniowania - GKP	<0,042	<0,041
21	<0,7*	<1,64	<0,002	<0,004	0,3-2,0	N:53°57'24.0" E:16°27'38.8"	otoczenie stacji bazowej - 100m wzdłuż gł. osi promieniowania - GKP	<0,042	<0,041
22	<0,7*	<1,64	<0,002	<0,004	0,3-2,0	N:53°57'20.9" E:16°27'39.6"	otoczenie stacji bazowej - 200m wzdłuż gł. osi promieniowania - GKP	<0,042	<0,041
23	<0,7*	<1,64	<0,002	<0,004	0,3-2,0	N:53°57'17.9" E:16°27'40.9"	otoczenie stacji bazowej - 300m wzdłuż gł. osi promieniowania - GKP	<0,042	<0,041
24	<0,7*	<1,64	<0,002	<0,004	0,3-2,0	N:53°57'14.8" E:16°27'41.5"	otoczenie stacji bazowej - 400m wzdłuż gł. osi promieniowania - GKP	<0,042	<0,041
25	<0,7*	<1,64	<0,002	<0,004	0,3-2,0	N:53°57'11.7" E:16°27'41.4"	otoczenie stacji bazowej - 500m wzdłuż gł. osi promieniowania - GKP	<0,042	<0,041
26	<0,7*	<1,64	<0,002	<0,004	0,3-2,0	N:53°57'09.9" E:16°27'42.1"	otoczenie stacji bazowej - 535m wzdłuż gł. osi promieniowania - GKP	<0,042	<0,041
27	<0,7*	<1,64	<0,002	<0,004	0,3-2,0	N:53°57'25.9" E:16°27'25.7"	otoczenie stacji bazowej - 200m wzdłuż gł. osi promieniowania - GKP	<0,042	<0,041
28	<0,7*	<1,64	<0,002	<0,004	0,3-2,0	N:53°57'25.6" E:16°27'21.4"	otoczenie stacji bazowej - 300m wzdłuż gł. osi promieniowania - GKP	<0,042	<0,041
29	<0,7*	<1,64	<0,002	<0,004	0,3-2,0	N:53°57'25.1" E:16°27'16.3"	otoczenie stacji bazowej - 400m wzdłuż gł. osi promieniowania - GKP	<0,042	<0,041
30	<0,7*	<1,64	<0,002	<0,004	0,3-2,0	N:53°57'24.1" E:16°27'10.6"	otoczenie stacji bazowej - 500m wzdłuż gł. osi promieniowania - GKP	<0,042	<0,041
31	<0,7*	<1,64	<0,002	<0,004	0,3-2,0	N:53°57'23.6" E:16°27'03.9"	otoczenie stacji bazowej - 600m wzdłuż gł. osi promieniowania - GKP	<0,042	<0,041
32	<0,7*	<1,64	<0,002	<0,004	0,3-2,0	N:53°57'23.1" E:16°27'00.5"	otoczenie stacji bazowej - 695m wzdłuż gł. osi promieniowania - GKP	<0,042	<0,041
33	<0,7*	<1,64	<0,002	<0,004	0,3-2,0	N:53°57'30.7" E:16°27'36.2"	otoczenie stacji bazowej - 100m wzdłuż gł. osi promieniowania - GKP	<0,042	<0,041
34	<0,7*	<1,64	<0,002	<0,004	0,3-2,0	N:53°57'33.8" E:16°27'34.7"	otoczenie stacji bazowej - 200m wzdłuż gł. osi promieniowania - GKP	<0,042	<0,041
35	<0,7*	<1,64	<0,002	<0,004	0,3-2,0	N:53°57'37.5" E:16°27'33.0"	otoczenie stacji bazowej - 300m wzdłuż gł. osi promieniowania - GKP	<0,042	<0,041
36	<0,7*	<1,64	<0,002	<0,004	0,3-2,0	N:53°57'40.2" E:16°27'32.1"	otoczenie stacji bazowej - 400m wzdłuż gł. osi promieniowania - GKP	<0,042	<0,041
37	<0,7*	<1,64	<0,002	<0,004	0,3-2,0	N:53°57'43.3" E:16°27'30."	otoczenie stacji bazowej - 500m wzdłuż gł. osi promieniowania - GKP	<0,042	<0,041
38	<0,7*	<1,64	<0,002	<0,004	0,3-2,0	N:53°57'45.6" E:16°27'29.7"	otoczenie stacji bazowej - 600m wzdłuż gł. osi promieniowania - GKP	<0,042	<0,041
39	<0,7*	<1,64	<0,002	<0,004	0,3-2,0	N:53°57'48.9" E:16°27'28.8"	otoczenie stacji bazowej - 695m wzdłuż gł. osi promieniowania - GKP	<0,042	<0,041
40	<0,7*	<1,64	<0,002	<0,004	0,3-2,0	N:53°57'29.8" E:16°27'41.6"	otoczenie stacji bazowej - 100m wzdłuż gł. osi promieniowania - GKP	<0,042	<0,041
41	<0,7*	<1,64	<0,002	<0,004	0,3-2,0	N:53°57'28.9" E:16°27'42.0"	otoczenie stacji bazowej - 100m wzdłuż gł. osi promieniowania - GKP	<0,042	<0,041
42	<0,7*	<1,64	<0,002	<0,004	0,3-2,0	N:53°57'27.9" E:16°27'42.9"	otoczenie stacji bazowej - 100m wzdłuż gł. osi promieniowania - GKP	<0,042	<0,041
43	<0,7*	<1,64	<0,002	<0,004	0,3-2,0	N:53°57'27.2" E:16°27'42.9"	otoczenie stacji bazowej - 100m wzdłuż gł. osi promieniowania - GKP	<0,042	<0,041
44	<0,7*	<1,64	<0,002	<0,004	0,3-2,0	N:53°57'23.5" E:16°27'36.5"	otoczenie stacji bazowej - 100m wzdłuż gł. osi promieniowania - GKP	<0,042	<0,041
45	<0,7*	<1,64	<0,002	<0,004	0,3-2,0	N:53°57'24.6" E:16°27'33.5"	otoczenie stacji bazowej - 100m wzdłuż gł. osi promieniowania - GKP	<0,042	<0,041
46	<0,7*	<1,64	<0,002	<0,004	0,3-2,0	N:53°57'27.0" E:16°27'34.9"	otoczenie stacji bazowej - 50m wzdłuż gł. osi promieniowania - GKP	<0,042	<0,041
47	<0,7*	<1,64	<0,002	<0,004	0,3-2,0	N:53°57'30.4" E:16°27'31.8"	otoczenie stacji bazowej - PKP	<0,042	<0,041

„Bez pisemnej zgody Laboratorium niniejsze sprawozdanie nie może być powielane inaczej, jak tylko w całości. Ponadto wyniki dotyczą tylko badanych obiektów przywołanych w niniejszym sprawozdaniu z badań”

A	<0,7*	<1,64	<0,002	<0,004	0,3-2,0	N:53°57'30.3" E:16°27'38.2"	Piaszczyste 7, pomiar przed bramą - DPP	<0,042	<0,041
B	<0,7*	<1,64	<0,002	<0,004	0,3-2,0	N:53°57'25.6" E:16°27'37.5"	Piaszczyste 6, pomiar przed bramą - DPP	<0,042	<0,041
C	<0,7*	<1,64	<0,002	<0,004	0,3-2,0	N:53°57'13.6" E:16°27'51.8"	Piaszczyste 5, pomiar przed bramą - DPP	<0,042	<0,041
D	-					Brak dostępu – zbiorniki wodne		-	

wynik pomiaru pole - E [V/m] - maksymalna wartość chwilowa zmierzona w danych pionie pomiarowym

\* poniżej czułości zestawu pomiarowego

GKP - główne kierunki pomiarowe

PKP - pomocnicze kierunki pomiarowe

DPP- dodatkowe punkty pomiarowe

PP – pion pomiarowy

U - niepewność pomiarowa rozszerzona, przy poziomie ufności 95%, z uwzględnieniem współczynnika rozszerzenia k=2

kE – poprawka pomiarowa badanej instalacji radiokomunikacyjnej podana przez operatora (kE=1,47), poprawka pomiarowa w przypadku oddziaływania innych instalacji radiokomunikacyjnych na badany obszar (kE=2,0)

WM<sub>E</sub> - wartość wskaźnikowa poziomu emisji pól elektromagnetycznych dla miejsc dostępnych dla ludności dla składowej elektrycznej pola

WM<sub>H</sub> - wartość wskaźnikowa poziomu emisji pól elektromagnetycznych dla miejsc dostępnych dla ludności dla składowej magnetycznej pola

Przyjęto najniższą dopuszczalną wartość składowej elektrycznej pola dla objętego pomiarami zakresu częstotliwości min(ME<sub>gr</sub>)= 38,8 V/m oraz składowej magnetycznej min(MH<sub>gr</sub>)= 0,105 A/m.

## 7. Stwierdzenie zgodności

Na podstawie wytycznych podanych w Rozporządzeniu Ministra Zdrowia z dnia 17 grudnia 2019 r. w sprawie dopuszczalnych poziomów pól elektromagnetycznych w środowisku (Dz.U. 2019 poz. 2448) oraz sposobów sprawdzania dotrzymania tych poziomów zgodnie z Rozporządzeniem Ministra Klimatu z dnia 17 lutego 2020 r. w sprawie sposobów sprawdzania dotrzymania dopuszczalnych poziomów pól elektromagnetycznych w środowisku (Dz.U. 2020 poz. 258) dotyczących źródła wymagań, które muszą być spełnione (załącznik do rozporządzenia Ministra Klimatu z dnia 17 lutego 2020 r. (poz. 258)), w oparciu o zasadę podejmowania decyzji zgodną z pkt 26 załącznika do rozporządzenia Ministra Klimatu z dnia 17 lutego 2020 r. (poz. 258), na podstawie wyników pomiarów pól elektromagnetycznych wykonanych w dniu 22.04.2021 stwierdzono, iż w miejscach dostępnych dla ludności, dopuszczalne poziomy pól elektromagnetycznych w środowisku, określone w przepisach wydanych na podstawie art. 122 ust. 1 ustawy z dnia 27 kwietnia 2001 r. – Prawo ochrony środowiska, uznaje się za dotrzymane w obszarze pomiarowym, w którym w wyniku zastosowania sposobu sprawdzenia dotrzymania dopuszczalnych poziomów pól elektromagnetycznych w środowisku, udokumentowano, że żadna z wartości wskaźnikowych nie przekracza wartości 1.

## 8. Oświadczenie.

Wyniki badania odnoszą się wyłącznie do badanego obiektu.

Bez pisemnej zgody sprawozdanie nie może być powielane inaczej, jak tylko w całości.

Uwagi i zastrzeżenia przyjmowane są w formie pisemnej w ciągu 14 dni od daty otrzymania sprawozdania.

## 9. Spis załączników.

Zał. 1. Lokalizacja obiektu.

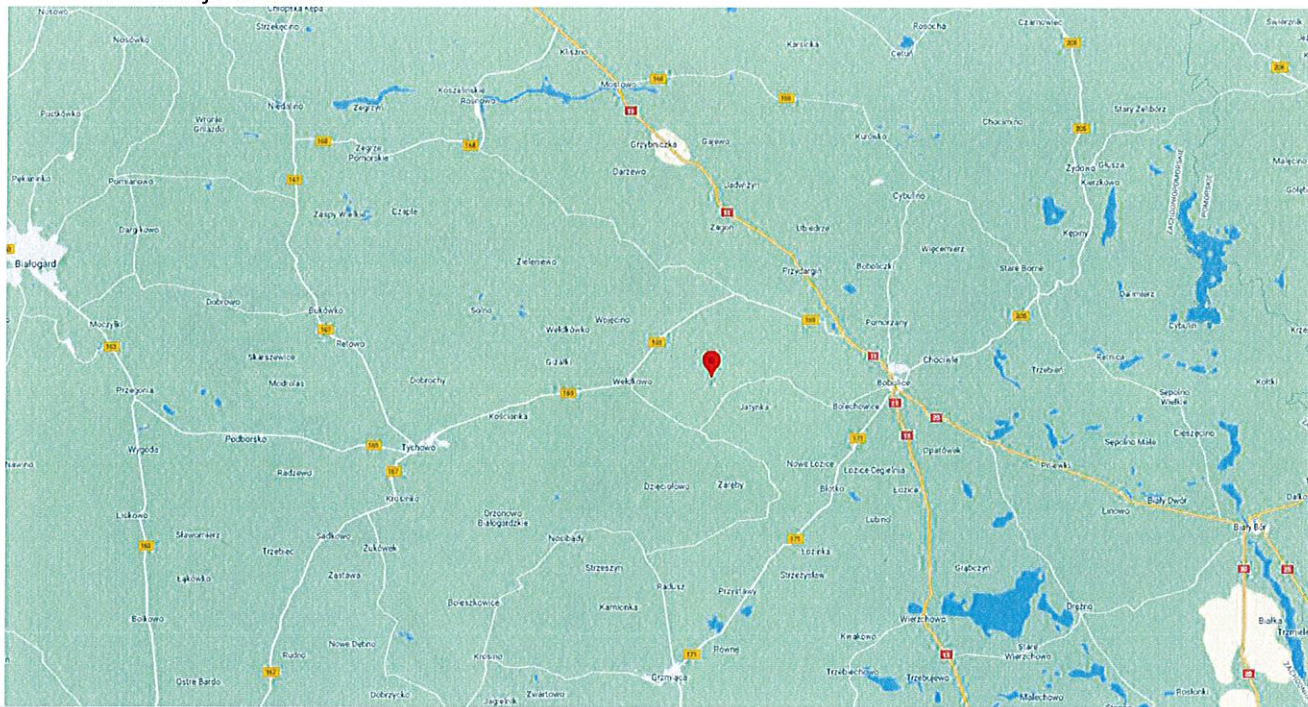
Zał. 2. Widok pionów pomiarowych

Zał. 3. Załączniki graficzne

**Koniec sprawozdania**



## Zał. 1. Lokalizacja obiektu



Współrzędne geograficzne	
długość:	16°27'37.26"E
szerokość:	53°57'27.51"N

Załącznik 2. Widok pionów pomiarowych




LEGENDA:



 inna instalacja radiokomunikacyjna

Odległość, do której zostały wykonane pomiary mierząc od instalacji antenowej wynosi min.: 694 metrów.

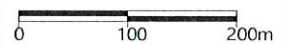
 brak dostępu

 nr pion pomiarowy z poprawką pomiarową (brak innych instalacji radiokomunikacyjnych)

 nr pion pomiarowy z poprawką pomiarową (w zasięgu innych instalacji radiokomunikacyjnych)

 antena sektorowa  
 antena radioliniowa

Skala: 1:8300



„Bez pisemnej zgody Laboratorium niniejsze sprawozdanie nie może być powielane inaczej, jak tylko w całości. Ponadto wyniki dotyczą tylko badanych obiektów przywołanych w niniejszym sprawozdaniu z badań”

Załącznik 3. Załączniki graficzne.

